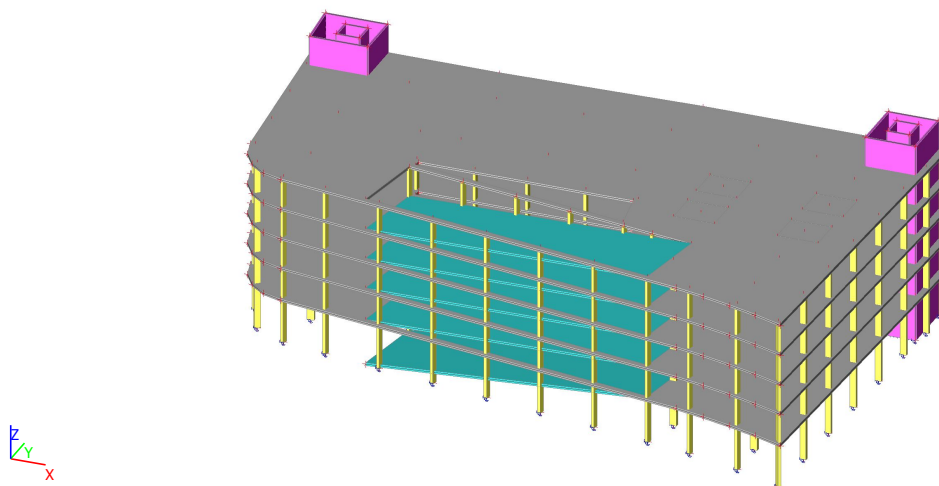


## 1. Obsah

1. Obsah	1
2. Výpočtový model	1
3. Zatěžovací stavy	2
3.1. Zatěžovací stavy - ZS1	2
3.2. Zatěžovací stavy - ZS2	2
3.3. Zatěžovací stavy - ZS3	3
3.4. Zatěžovací stavy - ZS5	3
3.5. Zatěžovací stavy - ZS6	4
3.6. Zatěžovací stavy - ZS7	4
3.7. Zatěžovací stavy - ZS8	5
3.8. Zatěžovací stavy - ZS9	5
4. Kombinace	6
5. Vnitřní síly	6
5.1. Reakce; $R_z$	6
5.2. sloup	6
5.2.1. 1D vnitřní síly; $N$	6
5.2.2. 1D vnitřní síly; $M_y$	7
5.2.3. 1D vnitřní síly; $M_z$	7
5.3. stropní deska	8
5.3.1. 2D vnitřní síly; $m_{xD-}$	8
5.3.2. 2D vnitřní síly; $m_{yD-}$	8
5.3.3. 2D vnitřní síly; $m_{xD+}$	9
5.3.4. 2D vnitřní síly; $m_{yD+}$	9
5.4. střešní deska	10
5.4.1. 2D vnitřní síly; $m_{xD-}$	10
5.4.2. 2D vnitřní síly; $m_{yD-}$	10
5.4.3. 2D vnitřní síly; $m_{yD+}$	11
5.4.4. 2D vnitřní síly; $m_{xD+}$	11
6. Deformace	12
6.1. Normově závislý průhyb-stropní deska	12
6.2. Normově závislý průhyb-střešní deska	12
7. Dimenzování výztuže	12
7.1. Sloup	12
7.2. Ohyb_strop dolní výztuž	16
7.3. Ohyb_strop horní výztuž	17
7.4. Ohyb_střecha dolní výztuž	18
7.5. Ohyb_střecha horní výztuž	19
7.6. Protlačení_strop	20
7.7. Protlačení_střecha	22
8. Návrh piloty	24

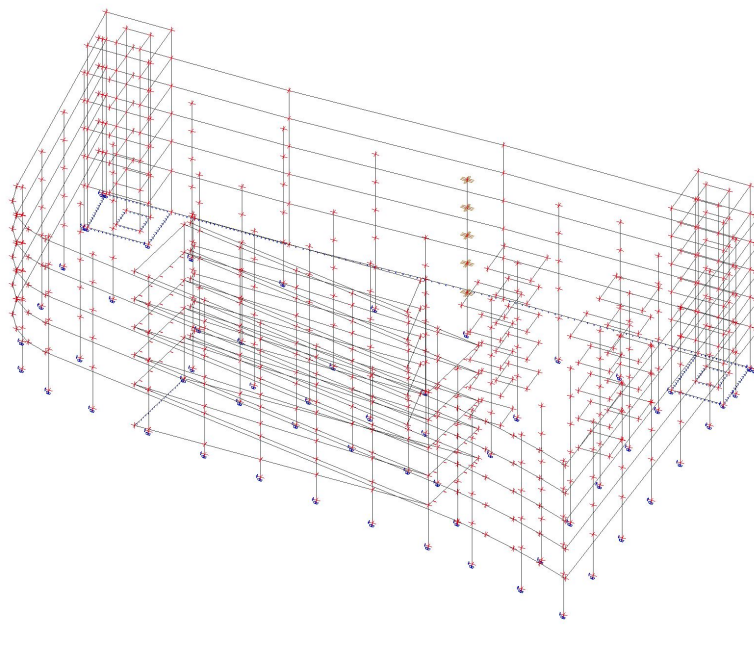
## 2. Výpočtový model



### 3. Zatěžovací stavy

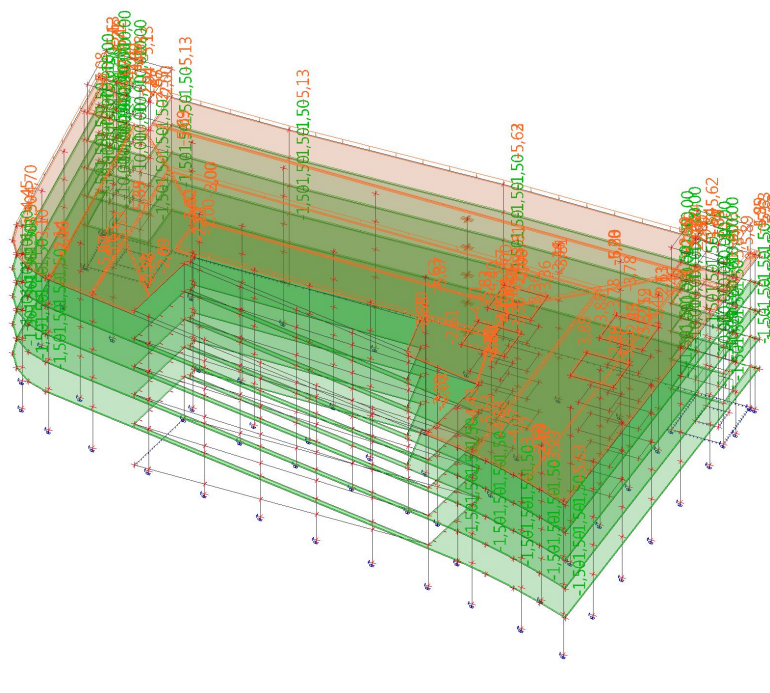
#### 3.1. Zatěžovací stavy - ZS1

Jméno, Popis, Typ působení, Typ zatížení	ZS1	Vlastní tíha	Stálé	Vlastní tíha
--	-----	--------------	-------	--------------



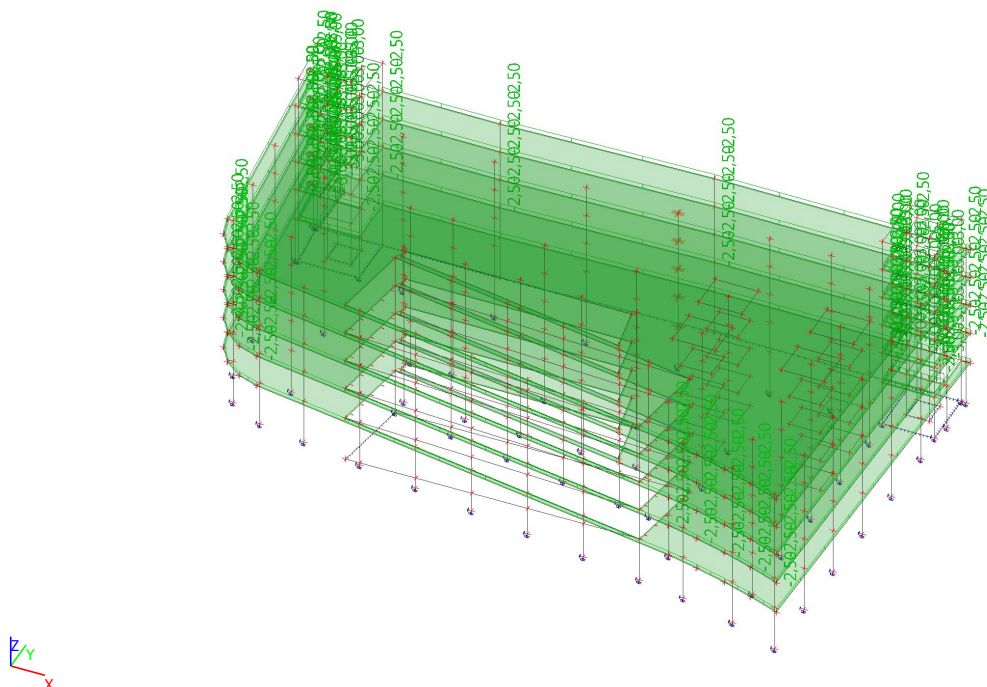
#### 3.2. Zatěžovací stavy - ZS2

Jméno, Popis, Typ působení, Typ zatížení	ZS2	Spádové vrstvy	Stálé	Standard
--	-----	----------------	-------	----------



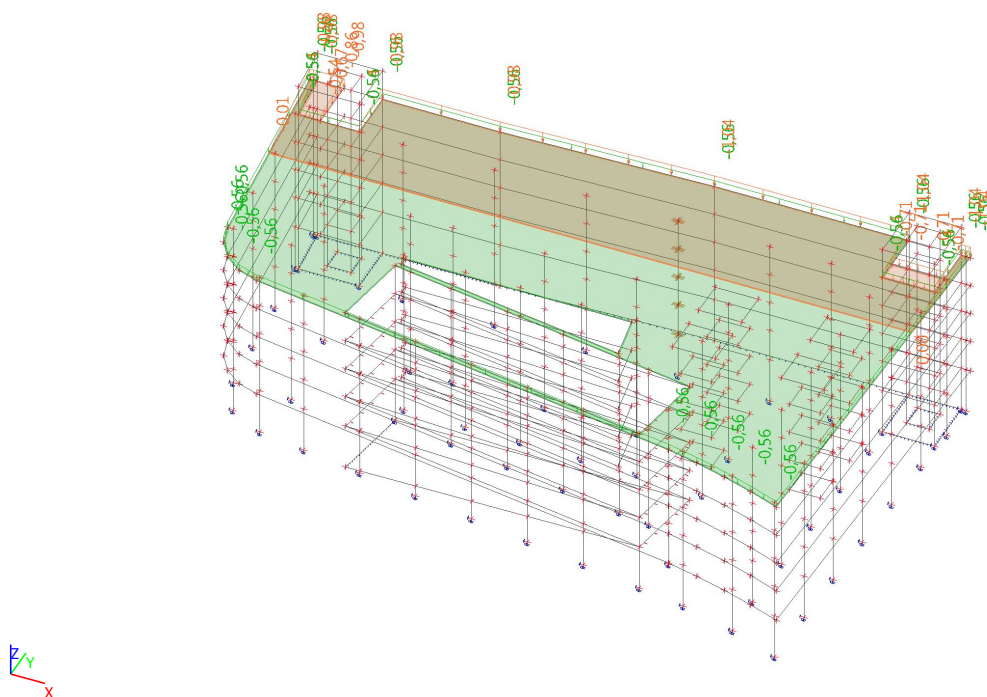
### 3.3. Zatěžovací stavy - ZS3

Jméno, Popis, Typ působení, Typ zatížení	ZS3	Užitné	Proměnné	Statické
--	-----	--------	----------	----------



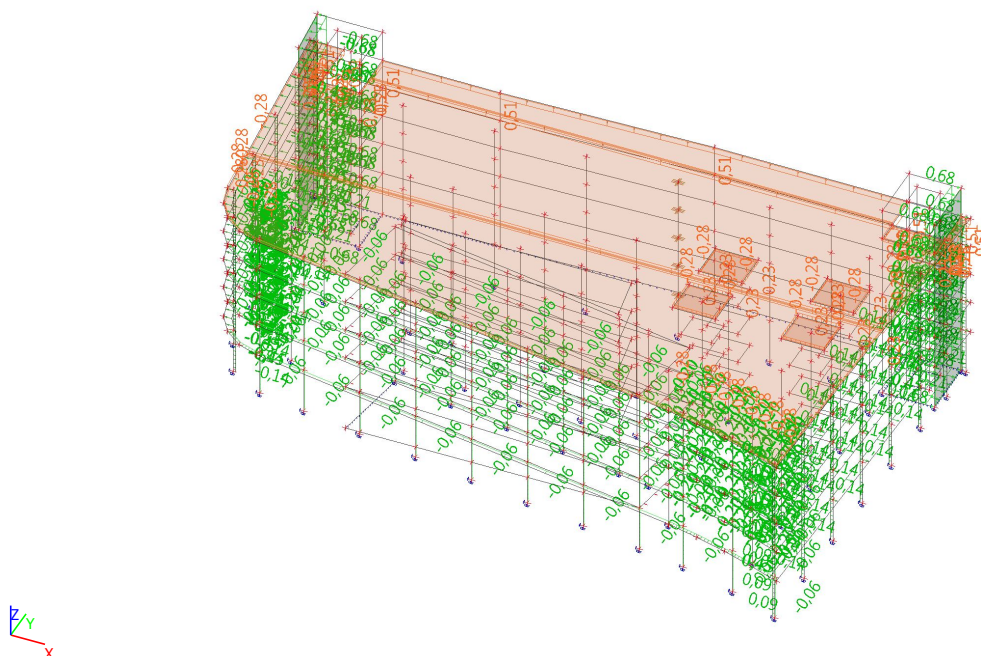
### 3.4. Zatěžovací stavy - ZS5

Jméno, Popis, Typ působení, Typ zatížení	ZS5	sníh	Proměnné	Statické
--	-----	------	----------	----------



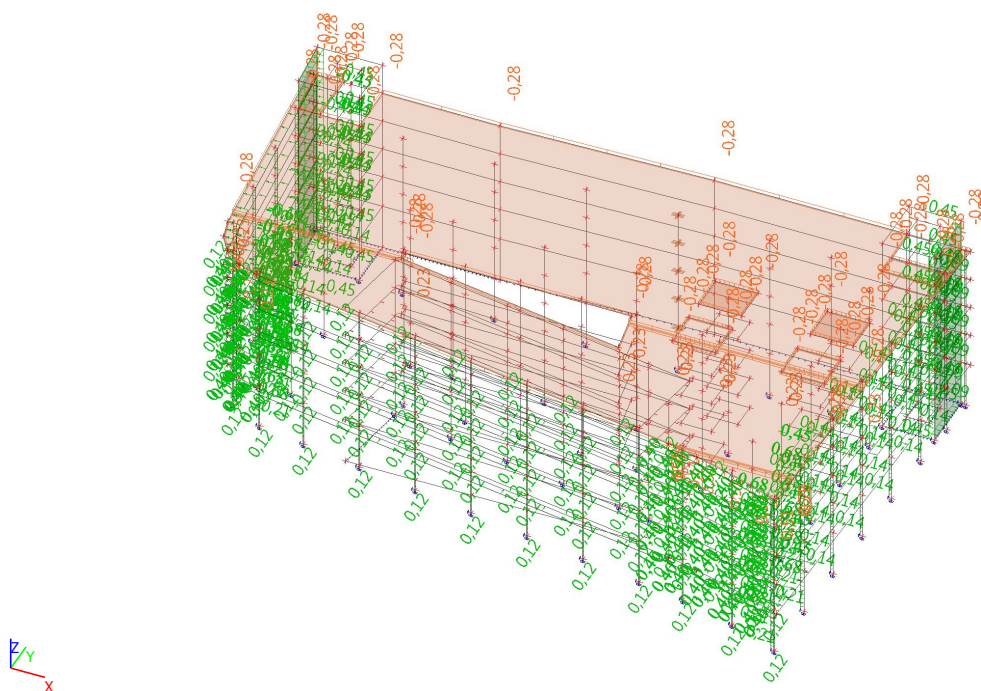
### 3.5. Zatěžovací stavy - ZS6

Jméno, Popis, Typ působení, Typ zatížení	ZS6	vítr	Proměnné	Statické
--	-----	------	----------	----------



### 3.6. Zatěžovací stavy - ZS7

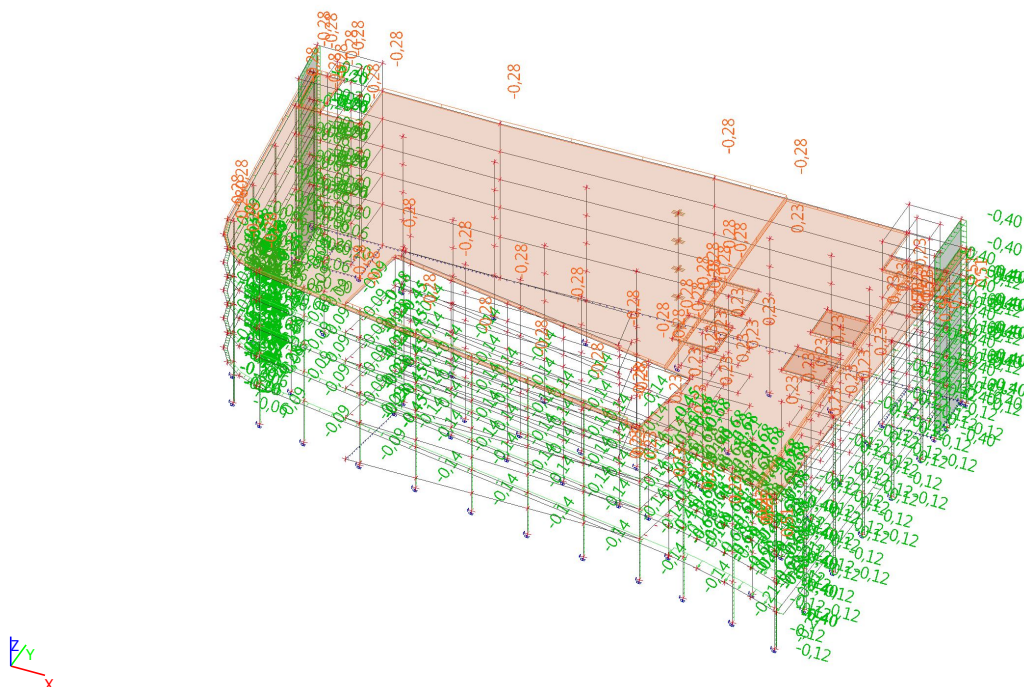
Jméno, Popis, Typ působení, Typ zatížení	ZS7	vítr	Proměnné	Statické
--	-----	------	----------	----------





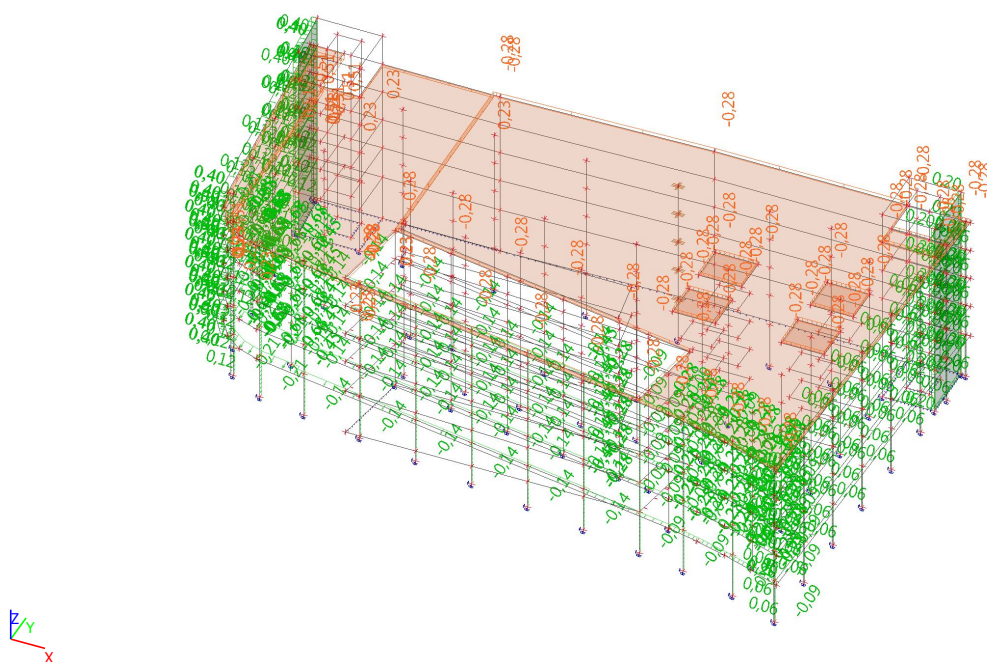
### 3.7. Zatěžovací stavy - ZS8

Jméno, Popis, Typ působení, Typ zatížení	ZS8	vítr	Proměnné	Statické
--	-----	------	----------	----------



### 3.8. Zatěžovací stavy - ZS9

Jméno, Popis, Typ působení, Typ zatížení	ZS9	vítr	Proměnné	Statické
--	-----	------	----------	----------



## 4. Kombinace

Jméno, Popis, Typ	MSÚ-Sada B (auto)	EN-MSÚ (STR/GEO) Soubor B
Jméno, Popis, Typ	MSP-Char (auto)	EN-MSP charakteristická
Jméno, Popis, Typ	MSP-Kvazi (auto)	EN-MSP kvazistálá

## 5. Vnitřní síly

### 5.1. Reakce; R<sub>z</sub>

Hodnoty: R<sub>z</sub>

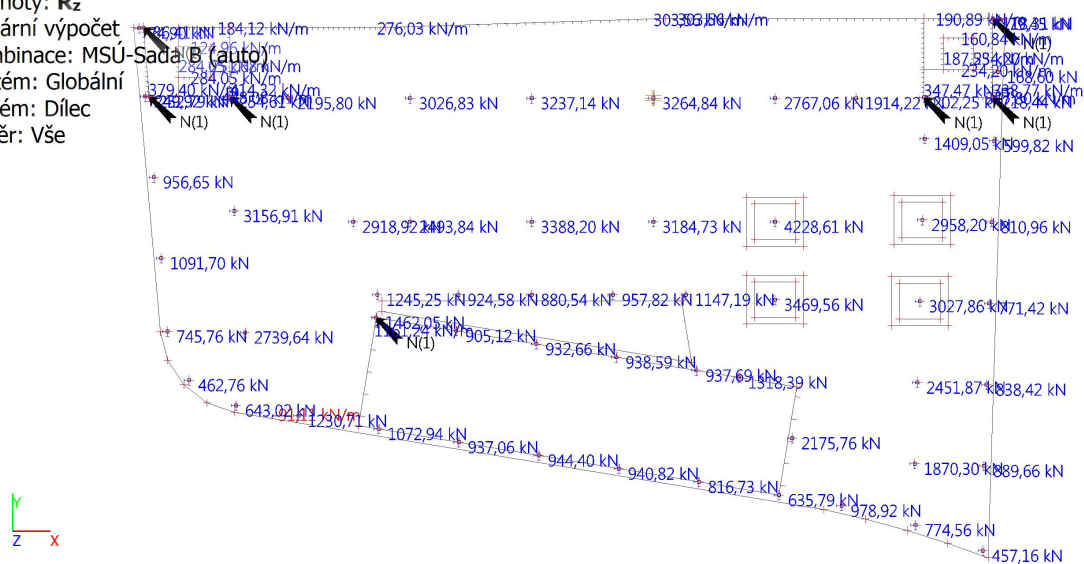
Lineární výpočet

Kombinace: MSÚ-Sada B (auto)

Systém: Globální

Extrém: Dílec

Výběr: Vše



### 5.2. sloup

#### 5.2.1. 1D vnitřní síly; N

Hodnoty: N

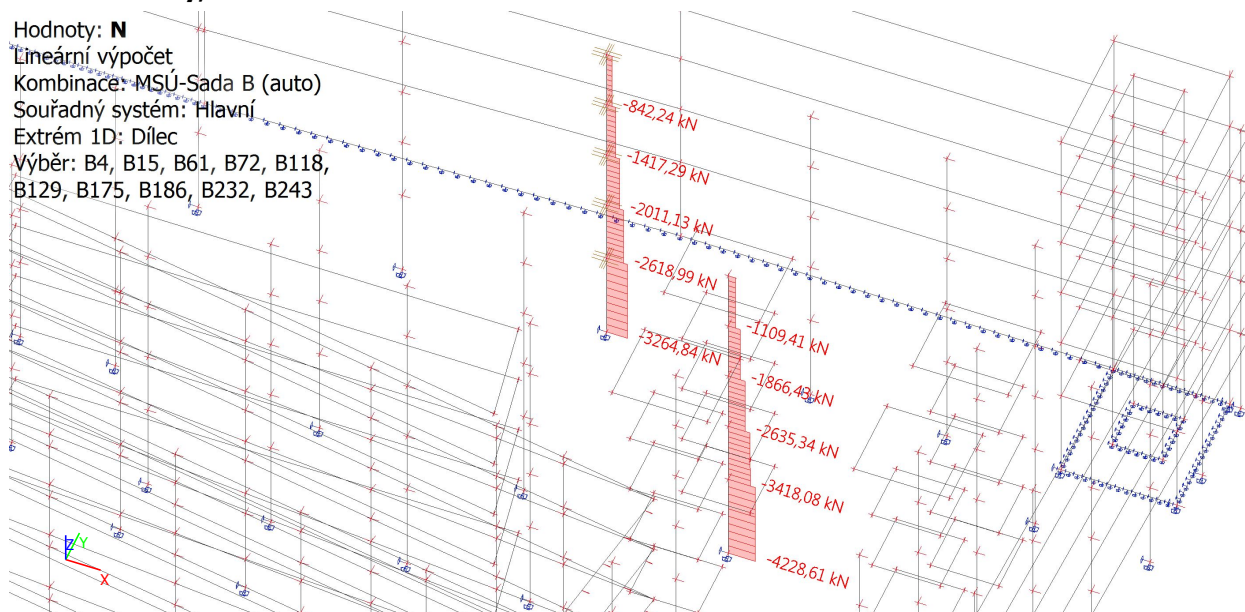
Lineární výpočet

Kombinace: MSÚ-Sada B (auto)

Souřadný systém: Hlavní

Extrém 1D: Dílec

Výběr: B4, B15, B61, B72, B118, B129, B175, B186, B232, B243



### 5.2.2. 1D vnitřní síly; $M_y$

Hodnoty:  $M_y$

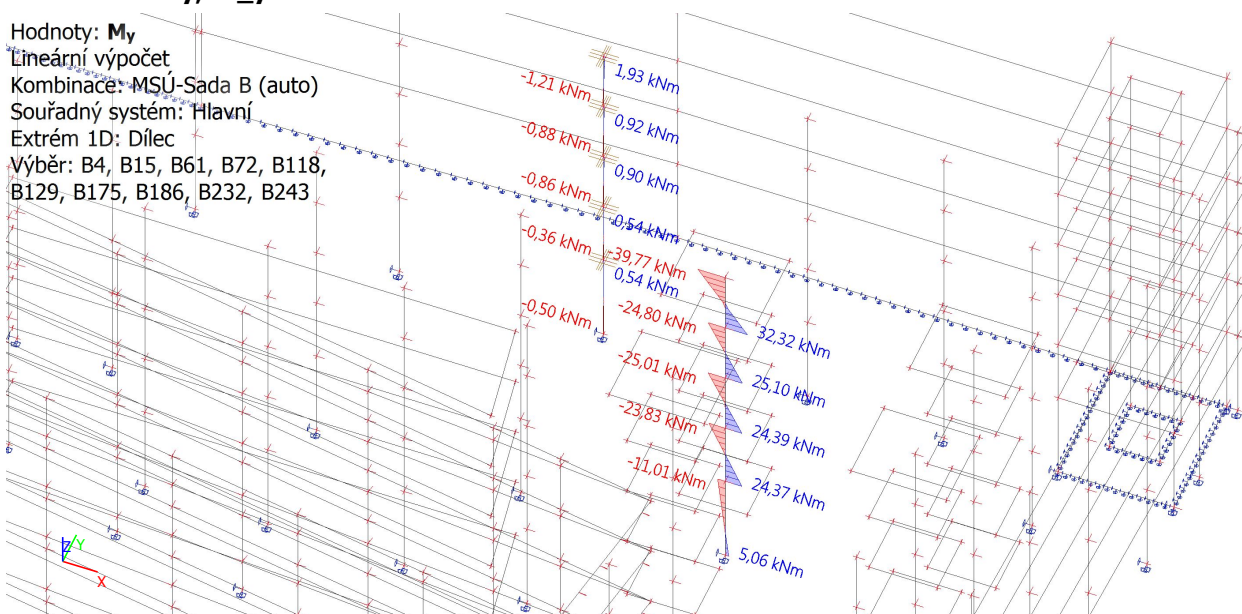
Lineární výpočet

Kombinace: MSÚ-Sada B (auto)

Souřadný systém: Hlavní

Extrém 1D: Dílec

Výběr: B4, B15, B61, B72, B118,  
B129, B175, B186, B232, B243



### 5.2.3. 1D vnitřní síly; $M_z$

Hodnoty:  $M_z$

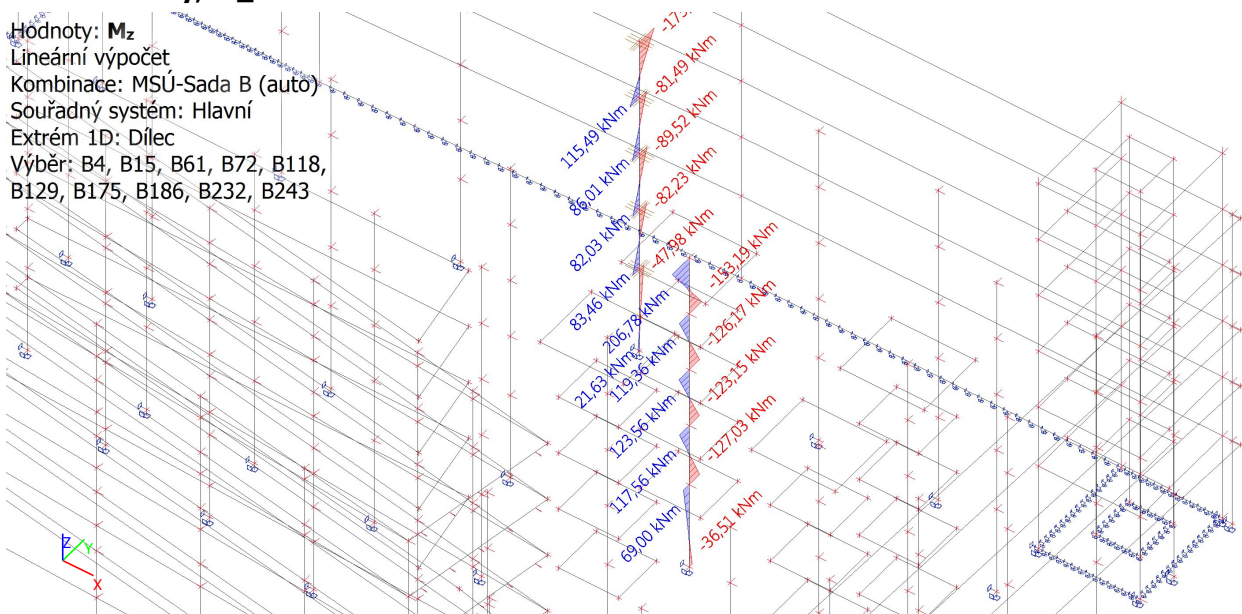
Lineární výpočet

Kombinace: MSÚ-Sada B (auto)

Souřadný systém: Hlavní

Extrém 1D: Dílec

Výběr: B4, B15, B61, B72, B118,  
B129, B175, B186, B232, B243





## 5.3. stropní deska

### 5.3.1. 2D vnitřní síly; $m_{xD}$ -

Hodnoty:  $m_{xD}$ -

Lineární výpočet

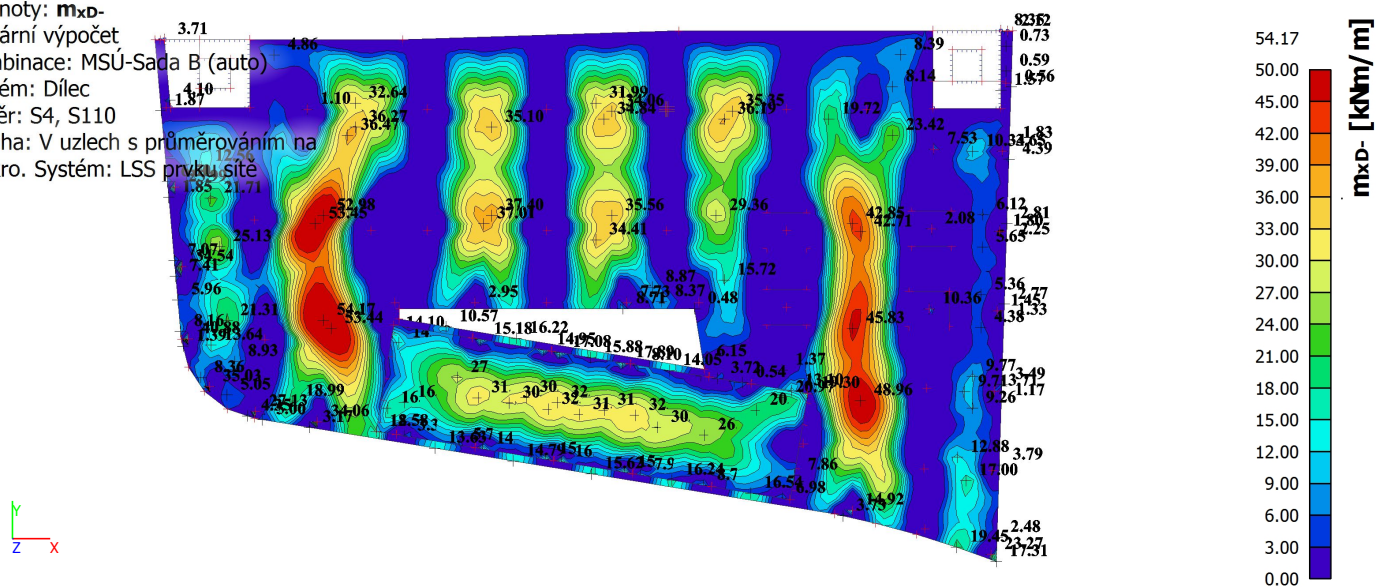
Kombinace: MSÚ-Sada B (auto)

Extrém: Dílec

Výběr: S4, S110

Poloha: V uzlech s průměrováním na

makro. Systém: LSS prvku sítě



### 5.3.2. 2D vnitřní síly; $m_{yD}$ -

Hodnoty:  $m_{yD}$ -

Lineární výpočet

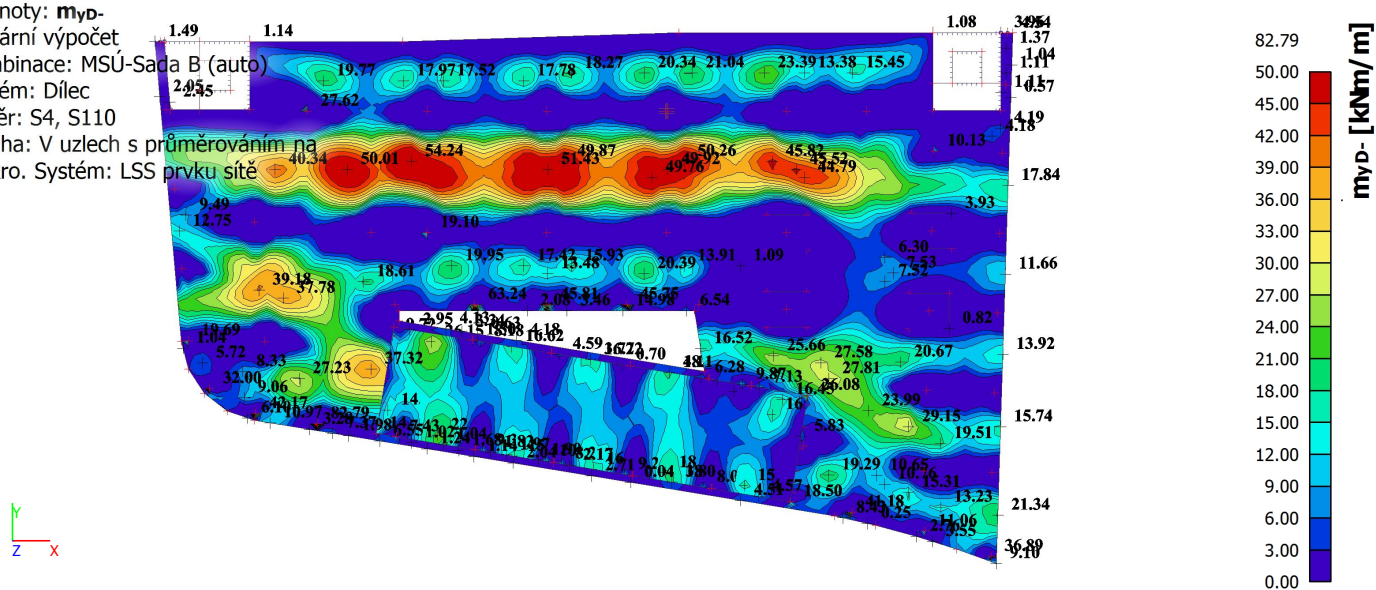
Kombinace: MSÚ-Sada B (auto)

Extrém: Dílec

Výběr: S4, S110

Poloha: V uzlech s průměrováním na

makro. Systém: LSS prvku sítě





## Projekt Parkovací dům SKOŘEPKA

5.3.3. 2D vnitřní síly;  $m_{xD+}$ Hodnoty:  $m_{xD+}$ 

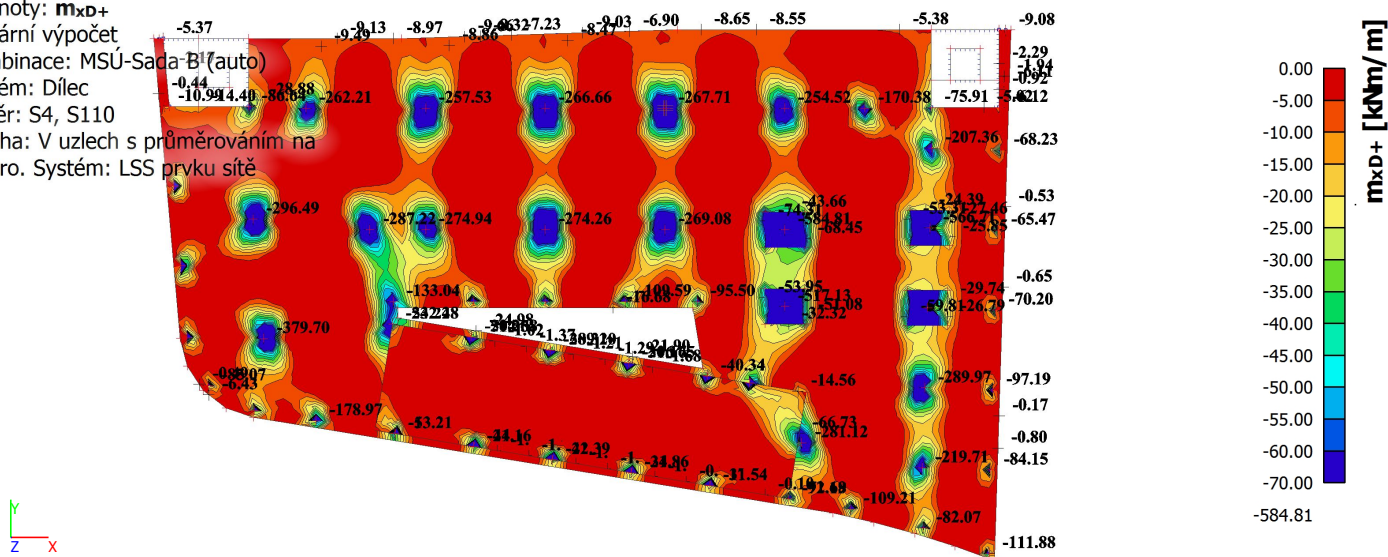
Lineární výpočet

Kombinace: MSÚ-Sada B' (auto)

Extrém: Dílec

Výběr: S4, S110

Poloha: V uzlech s průměrováním na makro. Systém: LSS prvku sítě

5.3.4. 2D vnitřní síly;  $m_{yD+}$ Hodnoty:  $m_{yD+}$ 

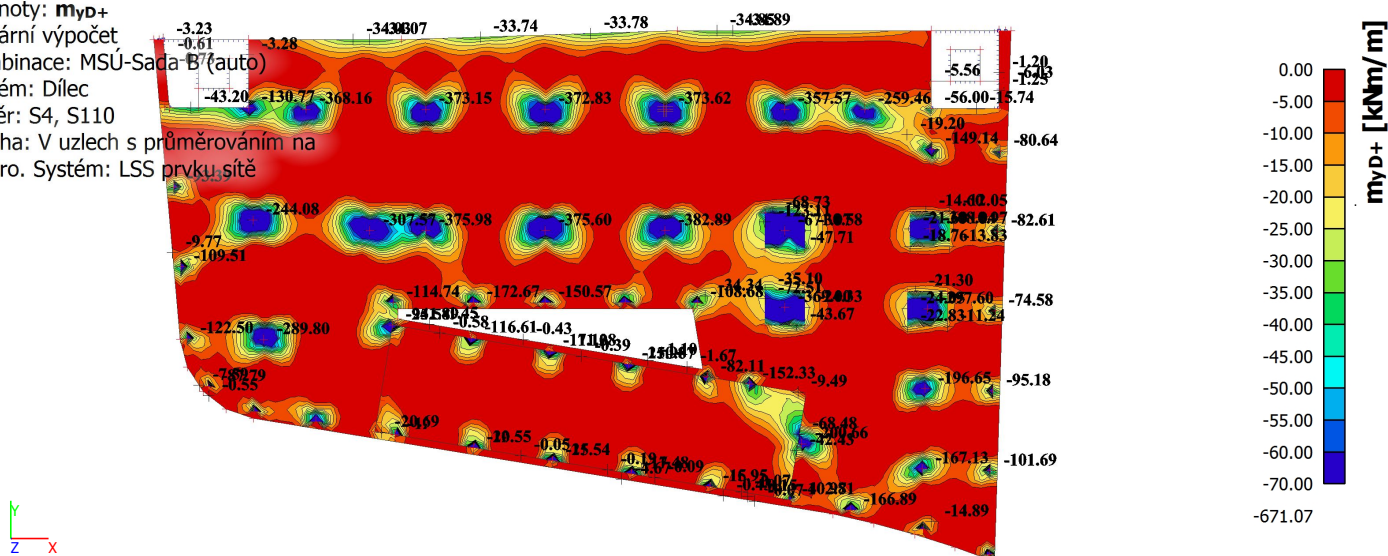
Lineární výpočet

Kombinace: MSÚ-Sada B' (auto)

Extrém: Dílec

Výběr: S4, S110

Poloha: V uzlech s průměrováním na makro. Systém: LSS prvku sítě



## 5.4. střešní deska

### 5.4.1. 2D vnitřní síly; $m_{xD}$ -

Hodnoty:  $m_{xD}$ -

Lineární výpočet

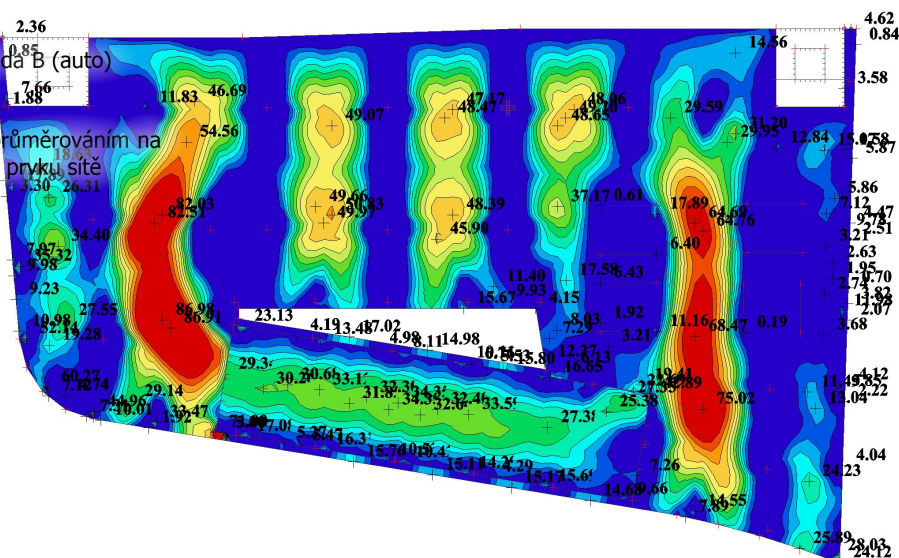
Kombinace: MSÚ-Sada B (auto)

Extrém: Dílec

Výběr: S49, S114

Poloha: V uzlech s průměrováním na

makro. Systém: LSS prvku sítě



### 5.4.2. 2D vnitřní síly; $m_{yD}$ -

Hodnoty:  $m_{yD}$ -

Lineární výpočet

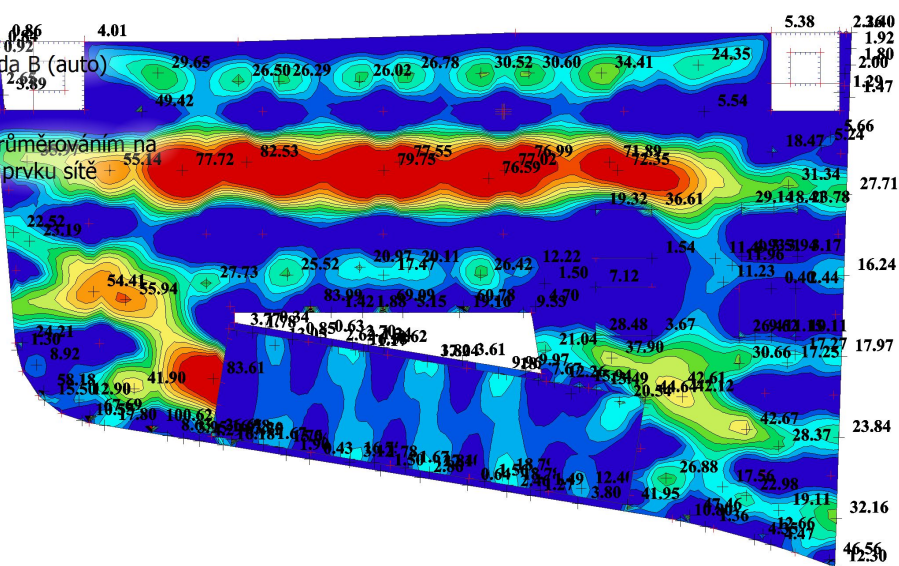
Kombinace: MSÚ-Sada B (auto)

Extrém: Dílec

Výběr: S49, S114

Poloha: V uzlech s průměrováním na

makro. Systém: LSS prvku sítě





## 5.4.3. 2D vnitřní síly; $m_{yD+}$

Hodnoty:  $m_{yD+}$

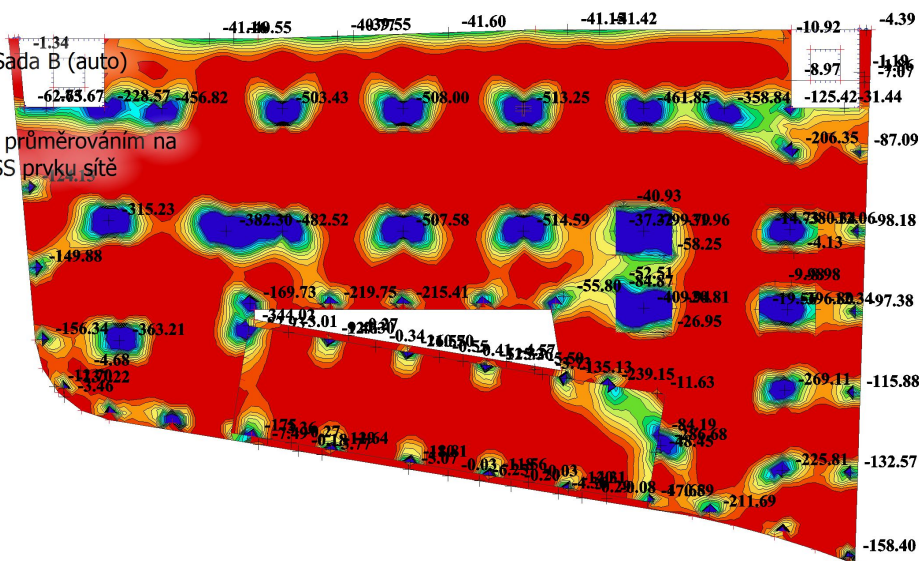
Lineární výpočet

Kombinace: MSÚ-Sada B (auto)

Extrém: Dílec

Výběr: S49, S114

Poloha: V uzlech s průměrováním na makro. Systém: LSS prvku sítě



## 5.4.4. 2D vnitřní síly; $m_{xD+}$

Hodnoty:  $m_{xD+}$

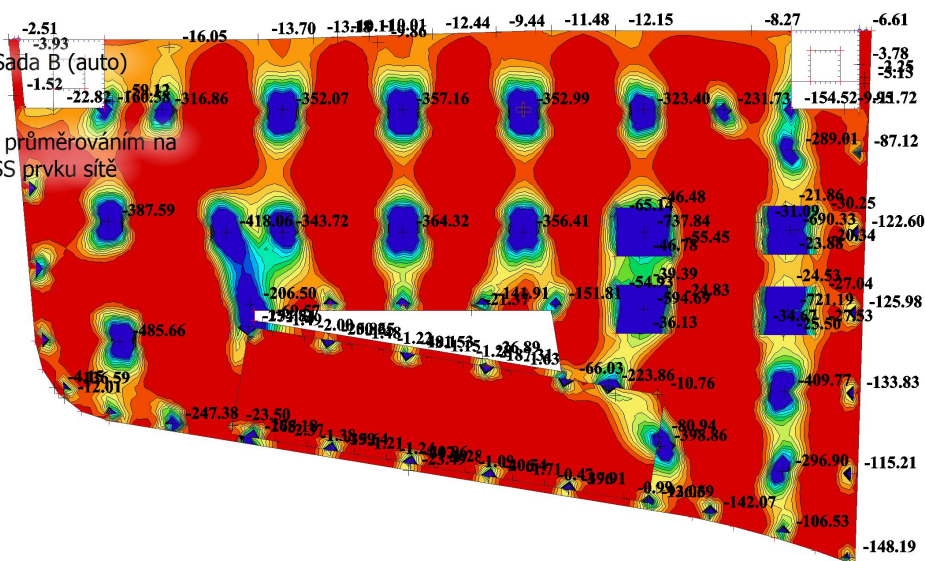
Lineární výpočet

Kombinace: MSÚ-Sada B (auto)

Extrém: Dílec

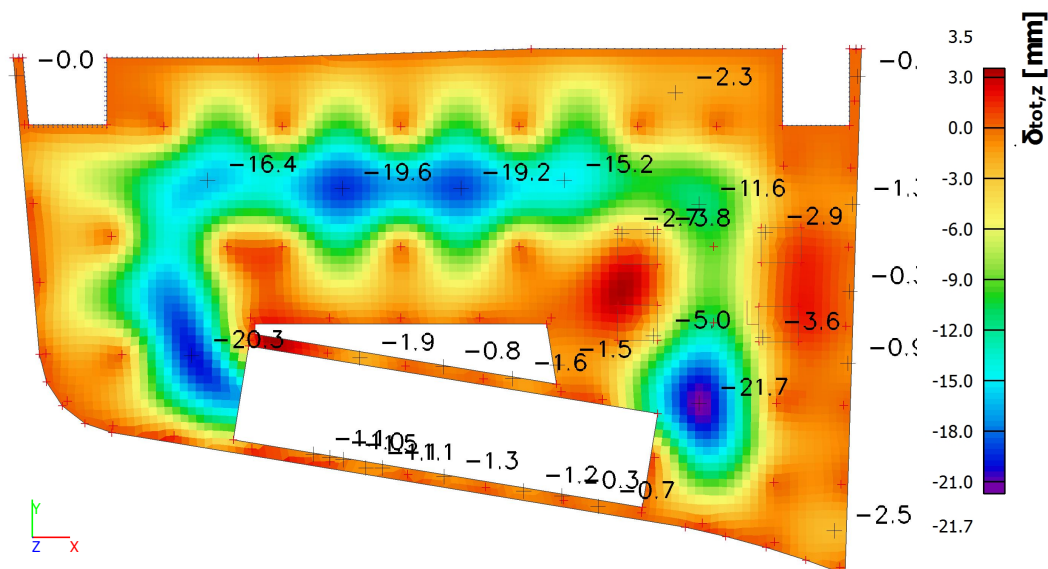
Výběr: S49, S114

Poloha: V uzlech s průměrováním na makro. Systém: LSS prvku sítě

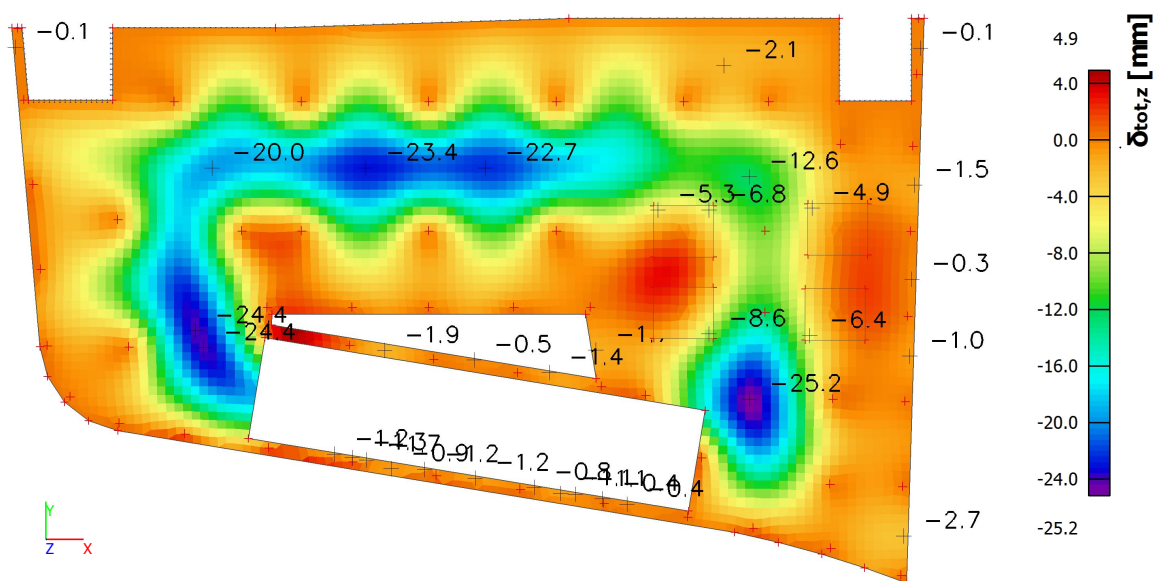


## 6. Deformace

### 6.1. Normově závislý průhyb-stropní deska



### 6.2. Normově závislý průhyb-střešní deska

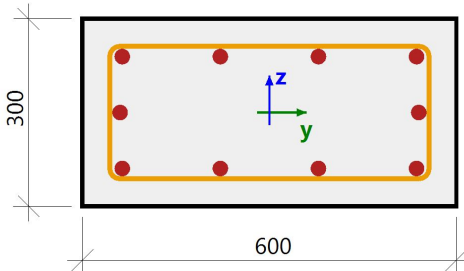


## 7. Dimenzování výztuže

### 7.1. Sloup

Lineární výpočet  
Kombinace: MSÚ-Sada B (auto)  
Souřadný systém: Dílec  
Extrém 1D: Globální  
Výběr: B15



Sloup B15		Obdélník (300; 600)	
ČSN EN 1992-1-1/NA: 2011-07		Řez 0 [dx = 0 m]	
<b>Délka prvku:</b>	L = 3.9 m	<b>Beton: C35/45</b>	
Vzpěr y-y	L <sub>y</sub> = 2.93 m (posuvný)	Bilineární pracovní diagram	
Vzpěr z-z	L <sub>z</sub> = 2.93 m (posuvný)	Třída prostředí: XC4, XD3, XF4	
		<b>Podélná výztuž: B 500B</b>	
		Bilineární s nakloněnou horní větví	
		10φ25 mm (A <sub>s</sub> = 4909 mm <sup>2</sup> )	
		ρ <sub>l</sub> = 2,727 % (38.5 kg/m)	
		<b>Smyková výztuž: B 500B</b>	
		Bilineární s nakloněnou horní větví	
		φ8/193 mm (n <sub>s</sub> = 2) (A <sub>sw</sub> = 101 mm <sup>2</sup> )	
		ρ <sub>w</sub> = 0,290 % (4.1 kg/m) (A <sub>swm</sub> = 522 mm <sup>2</sup> /m)	
		<b>Krytí (třmínek)</b>	
		Horní: 40 mm	
		Spodní: 40 mm	
		Levý: 40 mm	
		Pravý: 40 mm	

## Materiálové charakteristiky

Návrhová hodnota tlakové pevnosti betonu

$$f_{cd} = \frac{\alpha_{cc} \cdot f_{ck}}{\gamma_c} = \frac{1 \cdot 35}{1.5} = 23.3 \text{ MPa}$$

Návrhová hodnota napětí na mezi kluzu podélné výztuže

$$f_{yd} = \frac{f_{yk}}{\gamma_s} = \frac{500}{1.15} = 435 \text{ MPa} \quad (3.15)$$

## Síly

Z MKP výpočtu

$$N = -4229 \text{ kN} \quad M_y = 4.91 \text{ kNm} \quad M_z = -34.7 \text{ kNm}$$

Obsah kombinace:

$$1.35 \cdot ZS1 + 1.35 \cdot ZS2 + 1.05 \cdot ZS3 + 0.75 \cdot ZS5 + 0.90 \cdot ZS7$$

## Tlačený dílec

Limitní osová síla, při které se dílec uvažuje jako tlačený:

$$N_{com} = - \text{Coeff}_{com} \cdot (f_{cd} \cdot A_c) = -0.1 \cdot (23.3 \cdot 10^6 \cdot 0.18) = -420 \text{ kN}$$

Podmínka posudku:

$$N_{Ed} < N_{com} = -4229 \text{ kN} < -420 \text{ kN} \dots \text{ tlačený dílec}$$

Poznámka: Je třeba zohlednit excentricitu prvního a druhého řádu, protože dílec je považován za tlačený (osová síla je výrazná).

Přepočet ohybových momentů.

Účinek 2. řádu: Ano

Imperfekce: Ano

$$N_{Ed} = -4229 \text{ kN} \quad M_{Edy} = 154 \text{ kNm} \quad M_{Edz} = -84.6 \text{ kNm}$$

Prvek je uvažován jako samostatný prvek: Ne

Použit pro výpočet ekvivalentních momentů: Ano

## Vstupní údaje použité pro generování ID

Metoda posudku pro interakční diagram	$N_u M_u$
Dělení svislého přetvoření	250
Počet svislých řezů	36
Výslednice kroutícího momentu	$M_{res} = 176 \text{ kNm}$
Úhel výsledného momentu vztažený k $M_y$ směr v horizontální rovině $M_y$ - $M_z$	$\alpha_{MyMz} = -151^\circ$
Úhel výsledného momentu vztažený k $N$ směr ve vertikální rovině $N$ - $M_{res}$	$\alpha_{NM} = -87.6^\circ$

## Výpočet únosnosti

Únosnost v kladném směru  $N_{Rd+} = 1657 \text{ kN}$   $M_{Rdy+} = 159 \text{ kNm}$   $M_{Rdz+} = 33 \text{ kNm}$

Únosnost v záporném směru  $N_{Rd-} = -4367 \text{ kN}$   $M_{Rdy-} = -60 \text{ kNm}$   $M_{Rdz-} = -87 \text{ kNm}$

## Shrnutí posudku

Síly:  $N_{Ed} = -4229 \text{ kN}$   $M_{Edy} = 154 \text{ kNm}$   $M_{Edz} = -84.6 \text{ kNm}$

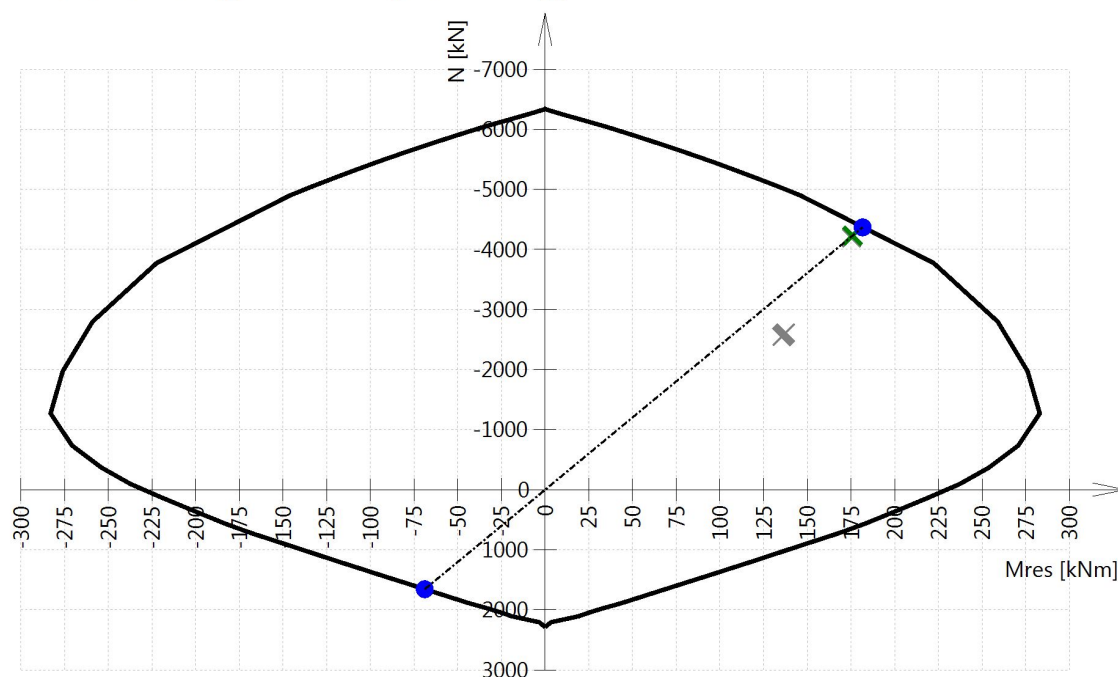
Odolnost:  $N_{Rd} = -4367 \text{ kN}$   $M_{Rdy} = 159 \text{ kNm}$   $M_{Rdz} = -87 \text{ kNm}$

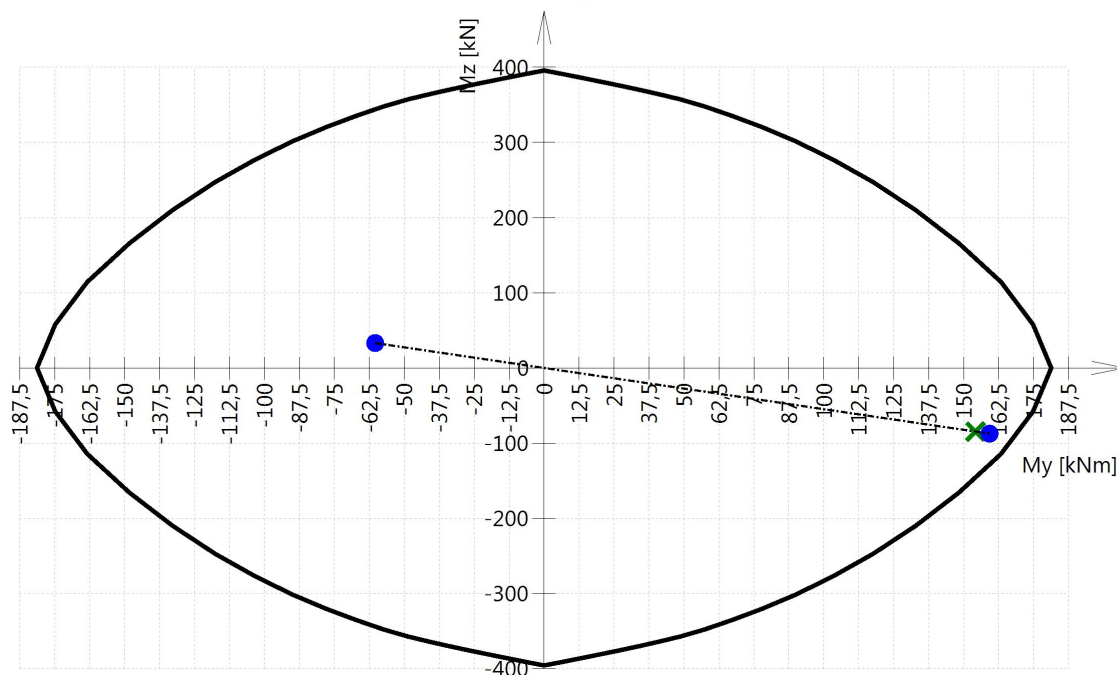
Výpočet jednotkového posudku.

$$UC = \frac{\sqrt{N_{Ed}^2 + M_{Edy}^2 + M_{Edz}^2}}{\sqrt{N_{Rd}^2 + M_{Rdy}^2 + M_{Rdz}^2}} = \frac{\sqrt{-4229^2 + 154^2 + -84.6^2}}{\sqrt{-4367^2 + 159^2 + -87.3^2}} = 0.968 \leq 1 \quad \text{OK}$$

Seznam varování, chyb a poznámek: N2/1.

## 3D interakční diagram - svislý řez $N$ - $M_{res}$



3D interakční diagram - vodorovný řez  $M_y$ - $M_z$ 

## Vysvětlivky k varováním, k chybám a poznámkám

Index	Typ	Popis	Řešení
N2/1	Poznámka	Je třeba zohlednit excentricitu prvního a druhého řádu, protože dílec je považován za tlačенý (osová síla je výrazná).	

## 7.2. Ohyb\_strop dolní výztuž

### DOLNÍ VÝZTUŽ

$$M_{Ed} = 61,00 \text{ kNm/m'}$$

#### 1) Materiálové charakteristiky

Beton	C35/45	$f_{ck} =$	35	Mpa	$f_{cd} = f_{ck} / \gamma_c =$	23,333	Mpa
		$f_{ctm} =$	3,2	Mpa	$f_{ctk,0,05} =$	2,2	Mpa
		$\gamma_c =$	1,5		$E_{cm} =$	34,08	Gpa
		$\epsilon_{cu3} =$	3,5	‰	$\lambda =$	0,8	
Ocel	B500B	$f_{yk} =$	500	Mpa	$f_{yd} = f_{yk} / \gamma_s =$	434,783	Mpa
		$E_s =$	200	Gpa	$\epsilon_{yd} = f_{yd} / E_s =$	2,174	‰
		$\gamma_s =$	1,15				

#### 2) Geometrie

$$h = 0,26 \text{ m}$$

$$b = 1 \text{ m}$$

#### 3) Návrh výztuže

- profil výztuže:  $\Phi_{sl} = 14 \text{ mm}$
- krytí výztuže:  $c = 40 \text{ mm}$
- poloha těžiště výztuže:  $d_1 = c + \Phi_{sl} / 2 = 0,061 \text{ m}$
- účinná výška:  $d = h - d_1 = 0,199 \text{ m}$
- plocha výztuže:

Navrženo: $\Phi/\text{á}$	14	150	$A_s =$	0,001026254 m <sup>2</sup>
	0	100		
$\Phi * n$	0	2		
	0	2		

#### 4) Posouzení

- poloha neutrálné osy:  $x = \frac{A_s \cdot f_{yd}}{b \cdot \lambda \cdot f_{cd}} = 0,024 \text{ m}$

- kontrola přetvoření výztuže:

$$\epsilon_s = \frac{\epsilon_{cu3} \cdot (d - x)}{x} = 25,64 \text{ ‰} \geq \epsilon_{yd} = 2,17 \text{ ‰} \quad \dots \text{ Vyhovuje}$$

- únosnost:  $M_{Rd} = A_s \cdot f_{yd} \cdot \left( d - \frac{\lambda \cdot x}{2} \right) = 84,53 \text{ kNm/m'}$

$$M_{Rd} = 84,53 \geq M_{Ed} = 61 \text{ [kNm/m']} \quad 0,721663 \dots \text{ Vyhovuje}$$

#### 5) Konstrukční zásady

- míra vyztužení:  $A_{s,min} = 0,26 \cdot (f_{ctm} / f_{yk}) \cdot b \cdot d = 0,000331 \text{ m}^2 \quad \dots \text{ Vyhovuje}$   
 $A_{s,min} = 0,0013 \cdot b \cdot d = 0,000259 \text{ m}^2 \quad \dots \text{ Vyhovuje}$   
 $A_{s,max} = 0,04 \cdot b \cdot h = 0,010400 \text{ m}^2 \quad \dots \text{ Vyhovuje}$
- stupeň vyztužení:  $\rho = A_s / (b \cdot d) = 0,005157053$   
 $\rho_{min} = 0,0018 \cdot f_{yk} / 500 = 0,0018 \quad \dots \text{ Vyhovuje}$
- vzdálenost výztuží:  $s_{max} = \min(300, 2h) = 300 \text{ mm}$
- světlá vzdálenost:  $s_{n,min} = \max \{ 1,2 \cdot \Phi; dg + 5\text{mm}; 20\text{mm} \} = 27 \text{ mm}$



### 7.3. Ohyb\_strop horní výztuž

#### HORNÍ VÝZTUŽ

$$M_{Ed} = 175,00 \text{ kNm/m'}$$

##### 1) Materiálové charakteristiky

Beton	C35/45	$f_{ck} =$	35	Mpa	$f_{cd} = f_{ck} / \gamma_c =$	23,333	Mpa
		$f_{ctm} =$	3,2	Mpa	$f_{ctk,0,05} =$	2,2	Mpa
		$\gamma_c =$	1,5		$E_{cm} =$	34,08	Gpa
		$\epsilon_{cu3} =$	3,5	‰	$\lambda =$	0,8	
Ocel	B500B	$f_{yk} =$	500	Mpa	$f_{yd} = f_{yk} / \gamma_s =$	434,783	Mpa
		$E_s =$	200	Gpa	$\epsilon_{yd} = f_{yd} / E_s =$	2,174	‰
		$\gamma_s =$	1,15				

##### 2) Geometrie

$$h = 0,26 \text{ m}$$

$$b = 1 \text{ m}$$

##### 3) Návrh výztuže

- profil výztuže:  $\Phi_{sl} = 20 \text{ mm}$
- krytí výztuže:  $c = 40 \text{ mm}$
- poloha těžiště výztuže:  $d_1 = c + \Phi_{sl} / 2 = 0,07 \text{ m}$
- účinná výška:  $d = h - d_1 = 0,19 \text{ m}$
- plocha výztuže:

Navrženo: $\Phi/\bar{a}$	20	100	$A_s =$	0,003141593 m <sup>2</sup>
	0	100		
$\Phi \cdot n$	0	2		
	0	2		

##### 4) Posouzení

- poloha neutrálné osy:  $x = \frac{A_s \cdot f_{yd}}{b \cdot \lambda \cdot f_{cd}} = 0,073 \text{ m}$

- kontrola přetvoření výztuže:

$$\epsilon_s = \frac{\epsilon_{cu3} \cdot (d - x)}{x} = 5,59 \text{ ‰} \geq \epsilon_{yd} = 2,17 \text{ ‰} \quad \dots \text{ Vyhovuje}$$

- únosnost:  $M_{Rd} = A_s \cdot f_{yd} \cdot \left( d - \frac{\lambda \cdot x}{2} \right) = 219,54 \text{ kNm/m'}$

$$M_{Rd} = 219,54 \geq M_{Ed} = 175 \text{ [kNm/m']} \quad 0,797109 \dots \text{ Vyhovuje}$$

- 5) Konstrukční zásady  $A_s = 0,003142 \text{ m}^2$

- míra vyztužení:  $A_{s,min} = 0,26 \cdot (f_{ctm} / f_{yk}) \cdot b \cdot d = 0,000316 \text{ m}^2 \dots \text{ Vyhovuje}$   
 $A_{s,min} = 0,0013 \cdot b \cdot d = 0,000247 \text{ m}^2 \dots \text{ Vyhovuje}$   
 $A_{s,max} = 0,04 \cdot b \cdot h = 0,010400 \text{ m}^2 \dots \text{ Vyhovuje}$
- stupeň vyztužení:  $\rho = A_s / (b \cdot d) = 0,016534698$   
 $\rho_{min} = 0,0018 \cdot f_{yk} / 500 = 0,0018 \dots \text{ Vyhovuje}$
- vzdálenost výztuží:  $s_{max} = \min(300, 2h) = 300 \text{ mm}$
- světlost vzdálenost:  $s_{n,min} = \max \{ 1, 2 \cdot \Phi; dg + 5mm; 20mm \} = 27 \text{ mm}$

## 7.4. Ohyb\_střecha dolní výztuž

### DOLNÍ VÝZTUŽ

$$M_{Ed} = 86,00 \text{ kNm/m'}$$

#### 1) Materiálové charakteristiky

Beton	C35/45	$f_{ck} =$	35	Mpa	$f_{cd} = f_{ck} / \gamma_c =$	23,333	Mpa
		$f_{ctm} =$	3,2	Mpa	$f_{ctk,0,05} =$	2,2	Mpa
		$\gamma_c =$	1,5		$E_{cm} =$	34,08	Gpa
		$\epsilon_{cu3} =$	3,5	‰	$\lambda =$	0,8	
Ocel	B500B	$f_{yk} =$	500	Mpa	$f_{yd} = f_{yk} / \gamma_s =$	434,783	Mpa
		$E_s =$	200	Gpa	$\epsilon_{yd} = f_{yd} / E_s =$	2,174	‰
		$\gamma_s =$	1,15				

#### 2) Geometrie

$$h = 0,28 \text{ m}$$

$$b = 1 \text{ m}$$

#### 3) Návrh výztuže

- profil výztuže:  $\Phi_{sl} = 14 \text{ mm}$
- krytí výztuže:  $c = 40 \text{ mm}$
- poloha těžiště výztuže:  $d_1 = c + \Phi_{sl} / 2 = 0,061 \text{ m}$
- účinná výška:  $d = h - d_1 = 0,219 \text{ m}$
- plocha výztuže:

Navrženo: $\Phi/\bar{a}$	14	125	$A_s =$	0,001231504 m <sup>2</sup>
	0	100		
$\Phi \cdot n$	0	2		
	0	2		

#### 4) Posouzení

- poloha neutrální osy:  $x = \frac{A_s \cdot f_{yd}}{b \cdot \lambda \cdot f_{cd}} = 0,029 \text{ m}$

- kontrola přetvoření výztuže:

$$\epsilon_s = \frac{\epsilon_{cu3} \cdot (d - x)}{x} = 23,22 \text{ ‰} \geq \epsilon_{yd} = 2,17 \text{ ‰} \quad \dots \text{ Vyhovuje}$$

- únosnost:  $M_{Rd} = A_s \cdot f_{yd} \cdot \left( d - \frac{\lambda \cdot x}{2} \right) = 111,12 \text{ kNm/m'}$

$$M_{Rd} = 111,12 \geq M_{Ed} = 86 \text{ [kNm/m']} \quad 0,773957 \dots \text{ Vyhovuje}$$

- 5) Konstrukční zásady  $A_s = 0,001232 \text{ m}^2$

- míra vyztužení:  $A_{s,min} = 0,26 \cdot (f_{ctm} / f_{yk}) \cdot b \cdot d = 0,000364 \text{ m}^2 \dots \text{ Vyhovuje}$   
 $A_{s,min} = 0,0013 \cdot b \cdot d = 0,000285 \text{ m}^2 \dots \text{ Vyhovuje}$   
 $A_{s,max} = 0,04 \cdot b \cdot h = 0,011200 \text{ m}^2 \dots \text{ Vyhovuje}$
- stupeň vyztužení:  $\rho = A_s / (b \cdot d) = 0,005623307$   
 $\rho_{min} = 0,0018 \cdot f_{yk} / 500 = 0,0018 \dots \text{ Vyhovuje}$
- vzdálenost výztuží:  $s_{max} = \min(300, 2h) = 300 \text{ mm}$
- světlost vzdálenost:  $s_{n,min} = \max \{ 1, 2 \cdot \Phi; dg + 5mm; 20mm \} = 27 \text{ mm}$

## 7.5. Ohyb\_střecha horní výztuž

### HORNÍ VÝZTUŽ

$$M_{Ed} = 230,00 \text{ kNm/m'}$$

#### 1) Materiálové charakteristiky

Beton	C35/45	$f_{ck} =$	35	Mpa	$f_{cd} = f_{ck} / \gamma_c =$	23,333	Mpa
		$f_{ctm} =$	3,2	Mpa	$f_{ctk,0,05} =$	2,2	Mpa
		$\gamma_c =$	1,5		$E_{cm} =$	34,08	Gpa
		$\epsilon_{cu3} =$	3,5	‰	$\lambda =$	0,8	
Ocel	B500B	$f_{yk} =$	500	Mpa	$f_{yd} = f_{yk} / \gamma_s =$	434,783	Mpa
		$E_s =$	200	Gpa	$\epsilon_{yd} = f_{yd} / E_s =$	2,174	‰
		$\gamma_s =$	1,15				

#### 2) Geometrie

$$h = 0,28 \text{ m}$$

$$b = 1 \text{ m}$$

#### 3) Návrh výztuže

- profil výztuže:  $\Phi_{sl} = 22 \text{ mm}$
- krytí výztuže:  $c = 40 \text{ mm}$
- poloha těžiště výztuže:  $d_1 = c + \Phi_{sl} / 2 = 0,073 \text{ m}$
- účinná výška:  $d = h - d_1 = 0,207 \text{ m}$
- plocha výztuže:

Navrženo: $\Phi/\bar{a}$	22	100	$A_s =$	0,003801327 m <sup>2</sup>
	0	100		
$\Phi \cdot n$	0	2		
	0	2		

#### 4) Posouzení

- poloha neutrálné osy:  $x = \frac{A_s \cdot f_{yd}}{b \cdot \lambda \cdot f_{cd}} = 0,089 \text{ m}$

- kontrola přetvoření výztuže:

$$\epsilon_s = \frac{\epsilon_{cu3} \cdot (d - x)}{x} = 4,68 \text{ ‰} \geq \epsilon_{yd} = 2,17 \text{ ‰} \quad \dots \text{ Vyhovuje}$$

- únosnost:  $M_{Rd} = A_s \cdot f_{yd} \cdot \left( d - \frac{\lambda \cdot x}{2} \right) = 283,59 \text{ kNm/m'}$


$$M_{Rd} = 283,59 \geq M_{Ed} = 230 \text{ [kNm/m']} \quad 0,811043 \dots \text{ Vyhovuje}$$

- 5) Konstrukční zásady  $A_s = 0,003801 \text{ m}^2$

- míra vyztužení:  $A_{s,min} = 0,26 \cdot (f_{ctm} / f_{yk}) \cdot b \cdot d = 0,000344 \text{ m}^2 \dots \text{ Vyhovuje}$   
 $A_{s,min} = 0,0013 \cdot b \cdot d = 0,000269 \text{ m}^2 \dots \text{ Vyhovuje}$   
 $A_{s,max} = 0,04 \cdot b \cdot h = 0,011200 \text{ m}^2 \dots \text{ Vyhovuje}$
- stupeň vyztužení:  $\rho = A_s / (b \cdot d) = 0,018363899$   
 $\rho_{min} = 0,0018 \cdot f_{yk} / 500 = 0,0018 \dots \text{ Vyhovuje}$
- vzdálenost výztuží:  $s_{max} = \min(300, 2h) = 300 \text{ mm}$
- světlost vzdálenost:  $s_{n,min} = \max \{ 1, 2 \cdot \Phi; dg + 5mm; 20mm \} = 27 \text{ mm}$





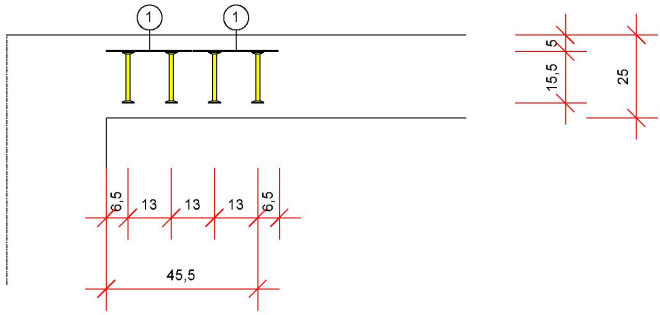
	Projekt	Projekt č	Strana 2
		Pozice 1	

HALFEN HDB výztuž proti protlačení, ETA-12/0454 (applicable with DIN EN 1992-1-1/NA:2013-04 + A1:2015-12)  
HALFEN výpočtového programu HDB, version 13.40

Návrh - včetně statických hodnot platí výhradně pro vykázané výrobky HALFEN. Únosnosti zdánlivě stejných prvků jiného výrobce se mohou lišit. Za alternativní výrobky nemůže poskytovatel tohoto programu převzít žádnou zodpovědnost.

prostor pro instalaci

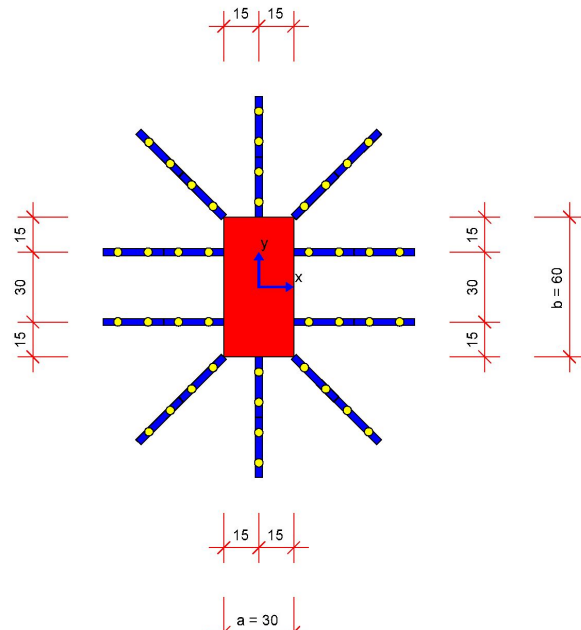
řez Scale 1:18



① 10x 2x HDB-12/155-2/260 (65/130/65)

[cm]

půdorys Scale 1:26




Minimum bar length:  $l_{bar,min,x} = 211 \text{ cm} + 2 \cdot l_{bd}$ ;  $l_{bar,min,y} = 241 \text{ cm} + 2 \cdot l_{bd}$ ;  $l_{bd}$  is the anchorage length  
Note: Due to other verifications, different minimum bar length can be decisive.

HDB 13.40 3.11.2020
------------------------

## 7.7. Protlačení\_střecha

HALFEN GmbH, Liebigstr. 14, 40764 Langenfeld/ Rhld, Telefon: 0 21 73/970 - 0, Telefax: 0 21 73/970 - 123 © HALFEN GmbH, Langenfeld, Germany

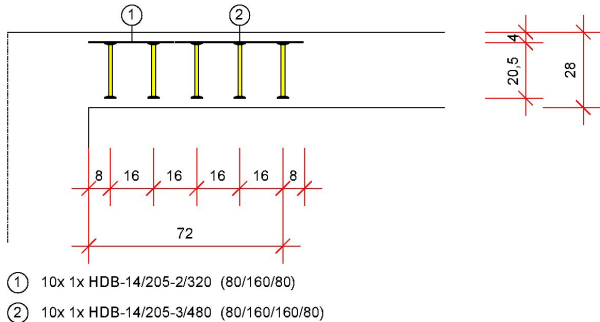
	Projekt	Projekt č	Strana 2
		Pozice 1	

HALFEN HDB výztuž proti protlačení, ETA-12/0454 (applicable with DIN EN 1992-1-1/NA:2013-04 + A1:2015-12)  
HALFEN výpočtového programu HDB, version 13.40

Návrh - včetně statických hodnot platí výhradně pro vykázané výrobky HALFEN. Únosnosti zdánlivě stejných prvků jiného výrobce se mohou lišit. Za alternativní výrobky nemůže poskytovatel tohoto programu převzít žádnou zodpovědnost.

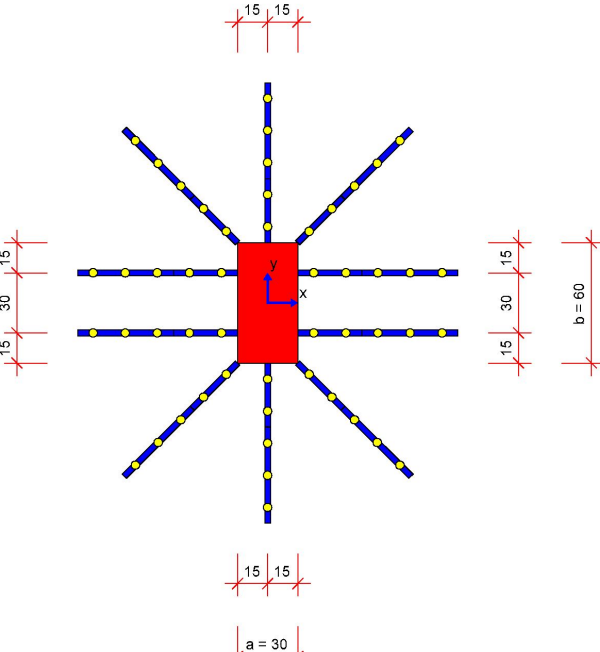
prostor pro instalaci

řez Scale 1:22



[cm]

půdorys Scale 1:30



Minimum bar length:  $l_{bar,min,x} = 284 \text{ cm} + 2 \cdot l_{bd}$ ;  $l_{bar,min,y} = 314 \text{ cm} + 2 \cdot l_{bd}$ ;  $l_{bd}$  is the anchorage length  
Note: Due to other verifications, different minimum bar length can be decisive.

HDB 13.40 3.11.2020
------------------------

## 8. Návrh piloty

Ing. Lukáš Kozumplík

SKOŘEPKA  
DIMENZOVÁNÍ PILOT

## Posouzení piloty

## Vstupní data


## Projekt

Akce : SKOŘEPKA  
Část : DIMENZOVÁNÍ PILOT  
Autor : Ing. Lukáš Kozumplík  
Datum : 3.11.2020




## Základní parametry zemin

Číslo	Název	Vzorek	$\varphi_{ef}$ [°]	$c_{ef}$ [kPa]	$\gamma$ [kN/m <sup>3</sup> ]	$\nu$ [-]
1	Třída F6, konzistence měkká		19,00	12,00	21,00	0,40
2	Třída F6, konzistence tuhá		19,00	12,00	21,00	0,40
3	Třída F8, konzistence tuhá		15,00	5,00	20,50	0,42
4	Třída F8, konzistence pevná $S_r > 0,8$		15,00	10,00	20,50	0,42
5	Třída G3, středně ulehlá		32,50	0,00	19,00	0,25
6	Třída G2, středně ulehlá		35,50	0,00	20,00	0,20

Pro výpočet tlaku v kldu jsou všechny zeminy zadány jako nesoudržné.

Číslo	Název	Vzorek	$E_{oed}$ [MPa]	$E_{def}$ [MPa]	$\gamma_{sat}$ [kN/m <sup>3</sup> ]	$\gamma_s$ [kN/m <sup>3</sup> ]	$n$ [-]
1	Třída F6, konzistence měkká		4,50	-	21,00	-	-
2	Třída F6, konzistence tuhá		9,50	-	21,00	-	-
3	Třída F8, konzistence tuhá		7,50	-	21,00	-	-
4	Třída F8, konzistence pevná $S_r > 0,8$		12,50	-	21,00	-	-
5	Třída G3, středně ulehlá		102,00	-	21,00	-	-
6	Třída G2, středně ulehlá		161,00	-	21,00	-	-




## Parametry zemin pro výpočet modulu reakce podloží

Číslo	Název	Vzorek	$\beta$
1	Třída F6, konzistence měkká		0,00
2	Třída F6, konzistence tuhá		0,00
3	Třída F8, konzistence tuhá		0,00

1

Ing. Lukáš Kozumplík

SKOŘEPKA  
DIMENZOVÁNÍ PILOT

Číslo	Název	Vzorek	$\beta$
4	Třída F8, konzistence pevná $S_r > 0,8$		0,00
5	Třída G3, středně ulehlá		0,00
6	Třída G2, středně ulehlá		0,00

**Geometrie**

Profil piloty: kruhová

**Rozměry**Průměr  $d = 1,20$  mDélka  $l = 12,00$  m**Umístění**Vysazení  $h = -0,30$  mHloubka upraveného terénu  $h_z = 0,00$  m

Typ technologie: vrtaná

Modul reakce podloží uvažován jako konstantní.

**Materiál konstrukce**

Výpočet betonových konstrukcí proveden podle normy EN 1992-1-1 (EC2).

Beton : C 20/25

Válcová pevnost v tlaku  $f_{ck} = 20,00$  MPaPevnost v tahu  $f_{ctm} = 2,20$  MPaModul pružnosti  $E_{cm} = 30000,00$  MPaModul pružnosti ve smyku  $G = 12500,00$  MPa

Ocel podélná : B500

Mez kluzu  $f_{yk} = 500,00$  MPa**Zatížení**

Číslo	Zatížení nové změna	Název	Typ	N [kN]	$M_x$ [kNm]	$M_y$ [kNm]	$H_x$ [kN]	$H_y$ [kN]
1	ANO	Zatížení č. 1	Návrhové	1500,00	100,00	100,00	0,00	0,00

**Hladina podzemní vody**

Hladina podzemní vody je v hloubce 1,60 m od původního terénu.

**Celkové nastavení výpočtu**

Výpočet svislé únosnosti : klasická teorie

Metoda výpočtu : ČSN 73 1002

Metodika posouzení : klasický postup

Zatěžovací křivka : nelineární (Masopust)

Norma výpočtu bet.konstrukcí - EN 1992-1-1 (EC2)

**Posouzení čís. 1****Posouzení svislé únosnosti piloty podle teorie MS - mezivýsledky**

Výpočet únosnosti v patě:

Součinitel únosnosti  $N_c = 8,67$ Součinitel únosnosti  $N_d = 2,64$ Součinitel únosnosti  $N_b = 0,47$ Součinitel únosnosti  $K_1 = 1,15$ Výpočtová únosnost na patě piloty  $R_{bd} = 519,38$  kPa



Ing. Lukáš Kozumplík

SKOŘEPKA  
DIMENZOVÁNÍ PILOTPlocha příčného řezu piloty  $A_p = 1,13E+00 \text{ m}^2$ 

Únosnost na plášti piloty:

Zkrácení účinné délky piloty  $L_p = 0,57 \text{ m}$ 

Hloubka [m]	Mocnost [m]	$\varphi_d$ [°]	$c_{ud}$ [kPa]	$\gamma$ [kN/m <sup>3</sup> ]	$\gamma_{R2}$ [-]	$f_s$ [kPa]	$R_{si}$ [kN]
0,10	0,10	13,57	6,00	21,00	1,30	4,82	1,82
0,70	0,60	13,57	6,00	21,00	1,30	6,23	14,08
1,30	0,60	13,57	6,00	21,00	1,20	9,03	20,42
1,70	0,40	13,57	6,00	11,00	1,20	10,66	16,07
2,10	0,40	13,57	6,00	11,00	1,10	11,96	18,03
2,70	0,60	13,57	6,00	11,00	1,10	13,01	29,43
3,70	1,00	13,57	6,00	11,00	1,00	15,24	57,47
6,40	2,70	13,57	6,00	11,00	1,00	19,15	194,90
8,40	2,00	23,21	0,00	11,00	1,00	31,72	239,14
9,20	0,80	10,71	2,50	11,00	1,00	19,05	57,45
9,70	0,50	10,71	5,00	11,00	1,00	22,63	42,65
11,43	1,73	10,71	5,00	11,00	1,00	24,76	161,20

**Posouzení svislé únosnosti piloty podle teorie MS - výsledek**

Výpočet proveden s automatickým výběrem nejnepříznivějších zatěžovacích stavů.

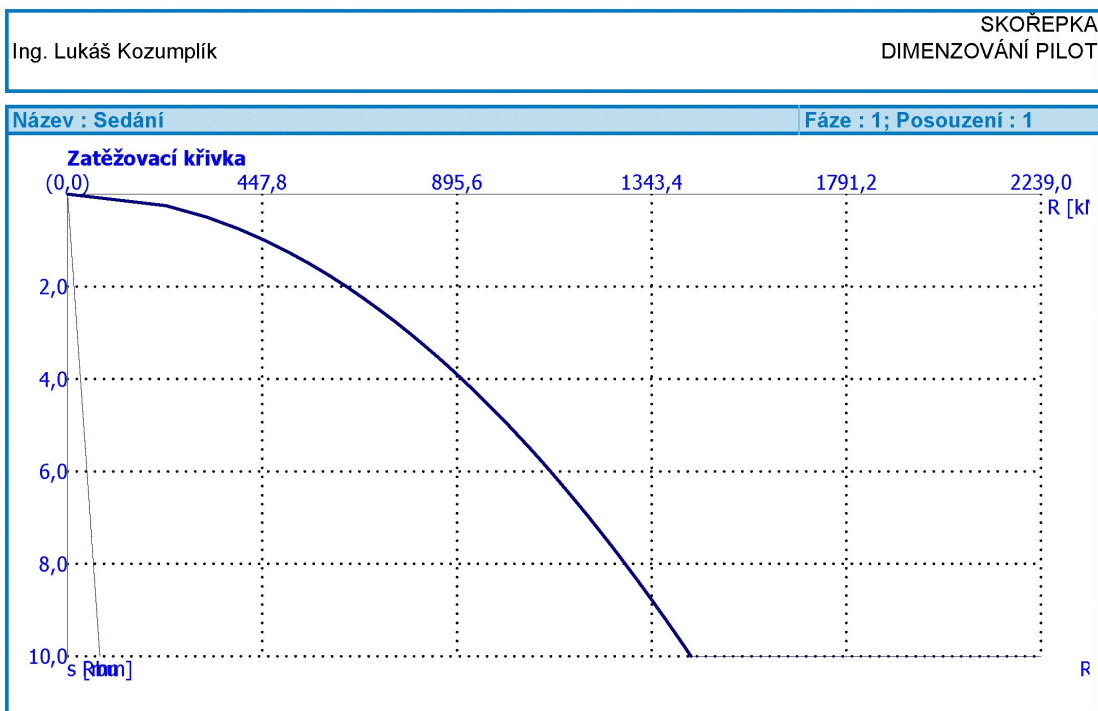
Posouzení tlačené piloty:

Nejnepříznivější zatěžovací stav číslo 1. (Zatížení č. 1)

Únosnost piloty na plášti  $R_s = 852,67 \text{ kN}$ Únosnost piloty v patě  $R_b = 675,52 \text{ kN}$ Únosnost piloty  $R_c = 1528,19 \text{ kN}$ Extrémní svislá síla  $V_d = 1500,00 \text{ kN}$  $R_c = 1528,19 \text{ kN} > 1500,00 \text{ kN} = V_d$ **Svislá únosnost piloty VYHOVUJE****Posouzení čís. 1****Výpočet zatěžovací křivky piloty - výsledek**Zatížení na mezi mobilizace pláště tření  $R_{yu} = 2367,05 \text{ kN}$ Velikost sedání odpovídající síle  $R_{yu}$   $s_y = 27,3 \text{ mm}$ 

Únosnosti odpovídající sednutí 10,0 mm :

Únosnost paty  $R_{bu} = 74,25 \text{ kN}$ Celková únosnost  $R_c = 2238,97 \text{ kN}$

**Posouzení čís. 1****Maximální vnitřní síly a deformace:**

Max.deformace piloty = 1,5 mm  
 Max.posouvající síla = 23,53 kN  
 Maximální moment = 141,42 kNm

**Dimenzace výztuže:**

Vyztužení - 10 ks profil 20,0 mm; krytí 50,0 mm  
 Typ konstrukce (stupně vyztužení) : pilota

Stupeň vyztužení  $\rho = 0,278 \% > 0,250 \% = \rho_{\min}$

Zatížení :  $N_{Ed} = -1500,00$  kN (tlak) ;  $M_{Ed} = 141,42$  kNm  
 Únosnost :  $N_{Rd} = -12266,33$  kN;  $M_{Rd} = 1156,48$  kNm

**Navržená výztuž piloty VYHOVUJE**